
ACOPLADORES DIRECIONAIS

TEORIA DE ONDAS GUIADAS

Luiz Votto

e

Vinícius de Angelis

Programa de Pós-Graduação

Departamento de Engenharia Elétrica e de Computação

Escola de Engenharia de São Carlos

Universidade de São Paulo

Primeiro Semestre de 2020

Sumário

| | |
|--------------------|----|
| Introdução | 2 |
| Formulação Teórica | 3 |
| Implementação | 4 |
| Resultados | 6 |
| Conclusão | 12 |
| Referências | 12 |

Introdução

Foi solicitado em aula um estudo sobre a Ref. [1]; mais especificamente implementar sua equação (12) – neste estudo: Eq. (12). Formulações de modos acoplados normalmente seguem imaginando-se, por exemplo, que guias paralelos de seção transversal constante na direção de propagação, z , possuem perfis transversais de campos que pode ser aproximados a partir de uma combinação linear, da forma

$$\begin{aligned}\mathbf{E}_t(x, y, z) &\approx a(z)\mathbf{E}_t^{(a)}(x, y) + b(z)\mathbf{E}_t^{(b)}(x, y), \\ \mathbf{H}_t(x, y, z) &\approx a(z)\mathbf{H}_t^{(a)}(x, y) + b(z)\mathbf{H}_t^{(b)}(x, y),\end{aligned}\tag{1}$$

onde os índices (a) e (b) representam os guias de onda separados, e $a(z)$ e $b(z)$ são as amplitudes locais de cada campo ao longo da direção de propagação. [1–3]

O exemplo estudado é como ilustra a Fig. 1 visto primeiramente nas Refs. [2] e [3], mas com a notação alinhada com a vista na Ref. [1].

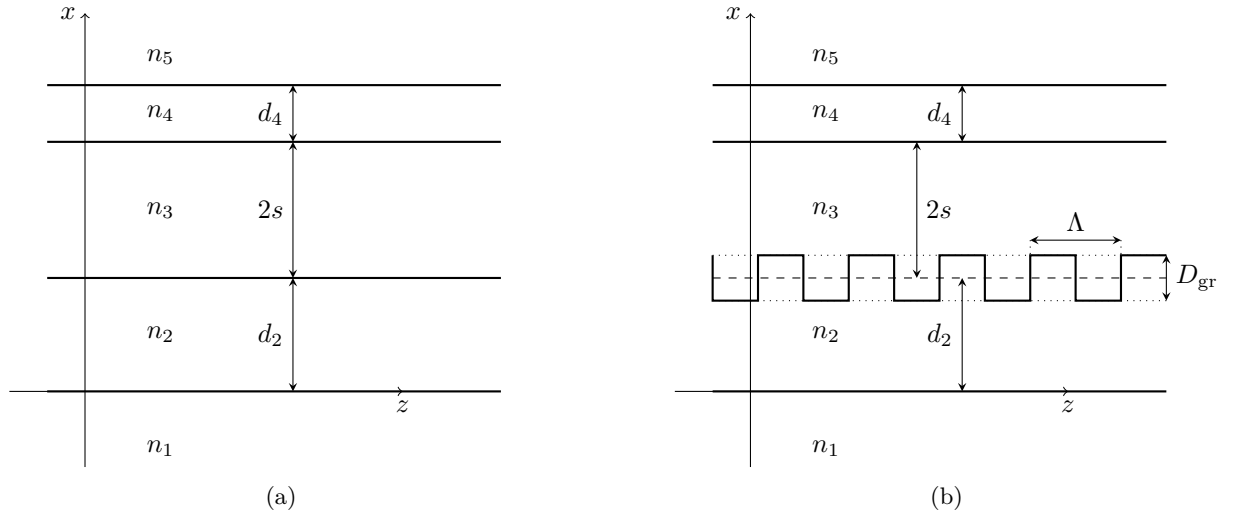


Figura 1: Esquemáticos da disposição dos guias de onda para os dois casos: (a) sem rede de difração, (b) com rede de difração.

Os guias foram estudados primeiramente em sua forma uniforme, sem perturbações [2], para depois ser estudado com uma rede de difração – uma perturbação longitudinal cuja modelagem matemática será melhor discutida em breve. A Ref. [1] propõe uma formulação mais robusta para a teoria de modos acoplados vigente na sua época.

Neste estudo, será revisto o acoplamento entre os guias descritos pelos núcleos de largura d_2 e d_4 . Os parâmetros, como vistos na Fig. 1, são os índices de refração: $n_1 = 1$; $n_2 = 3,3$; $n_3 = 3,2$; $n_4 = 3,5$ e $n_5 = 3$; as larguras dos núcleos dos dois guias: $d_2 = 1\ \mu\text{m}$ e $d_4 = 0,3\ \mu\text{m}$; e o comprimento de onda no espaço livre é considerado $\lambda = 1,5\ \mu\text{m}$. D_{gr} e Λ sendo, respectivamente, profundidade e período da rede de difração. Será estudado apenas os guias propagando modos TE ($\mathbf{E} = \hat{\mathbf{y}}E_y$, $\mathbf{H} = \hat{\mathbf{x}}H_x + \hat{\mathbf{z}}H_z$), e

a dependência em z na forma $\exp(-i\beta z)$.

Formulação Teórica

No artigo em [1], define-se a dependência dielétrica do espaço como

$$\varepsilon(x, y, z) = \varepsilon(x, y) + \Delta\varepsilon(z) \quad (2)$$

com $\varepsilon(x, y)$ é o meio geral contando com todos os guias de onda. Cada guia de onda – j – isolado representa um valor dielétrico em função de espaço dado por $\varepsilon^{(j)}(x, y)$ tal que

$$\varepsilon(x, y) = \varepsilon^{(j)}(x, y) + \Delta\varepsilon^{(j)}(x, y). \quad (3)$$

As perturbações longitudinais estudadas são da forma

$$\Delta\varepsilon(x, y, z) = \varepsilon_0 f(x, y) \Delta n^2(z). \quad (4)$$

No exemplo estudado, visto na Fig. 1, a perturbação da rede de difração – localizada entre meios de índices n_p e n_q –, se representa com o termo fundamental de sua série de Fourier longitudinal

$$\Delta n^2(z) = \frac{2(n_p^2 - n_q^2)}{\pi} \cos\left(\frac{2\pi}{\Lambda} z\right) \quad (5)$$

e também é restrita pela função f da forma

$$f(x, y) = \begin{cases} 1, & \text{se } d_2 - D_{\text{gr}}/2 < x < d_2 + D_{\text{gr}}/2, \\ 0, & \text{caso contrário.} \end{cases} \quad (6)$$

Para os fins da reprodução de um sistema de dois guias de onda, a e b , temos uma famílias de coeficientes importantes tais como o coeficiente de sobreposição:

$$c = \frac{c_{ab} + c_{ba}}{2}, \quad (7)$$

onde, sejam $p, q \in \{a, b\}$,

$$c_{pq} = \frac{1}{2} \int \int \mathbf{E}_t^{(p)} \times \mathbf{H}_t^{(q)} \cdot \hat{\mathbf{z}} dx dy, \quad (8)$$

e os coeficientes de acomplamento

$$\tilde{K}_{pq} = \frac{\omega}{4} \int \int \Delta\varepsilon^{(q)}(x, y) \left(\mathbf{E}_t^{(p)} \cdot \mathbf{E}_t^{(q)} - \frac{\varepsilon^{(p)}(x, y)}{\varepsilon(x, y)} E_z^{(p)} E_z^{(q)} \right) dx dy, \quad (9)$$

e

$$\hat{K}_{pq} = \frac{\omega}{4}\varepsilon_0 \int \int f(x, y) \left(\mathbf{E}_t^{(p)} \cdot \mathbf{E}_t^{(q)} - \frac{\varepsilon^{(p)}(x, y)}{\varepsilon(x, y)} E_z^{(p)} E_z^{(q)} \right) dx dy. \quad (10)$$

Aqui se lidará com modo de propagação TE de dois guias de onda como na Fig. 1. Assim, seja

$$\mathbf{u} = \mathbf{u}(z) = \begin{pmatrix} a(z) \\ b(z) \end{pmatrix} \quad (11)$$

como na Eq. (1), a equação diferencial cuja implementação foi solicitada se trata de

$$\frac{d}{dz} \mathbf{u} = i(M + \Delta n^2(z)N)\mathbf{u}, \quad (12)$$

onde

$$M = \begin{pmatrix} \gamma_a & K_{ab} \\ K_{ba} & \gamma_b \end{pmatrix} \quad (13)$$

tal que

$$\begin{aligned} \gamma_a &= \beta_a + \frac{\tilde{K}_{aa} - c\tilde{K}_{ba}}{1 - c^2}, & \gamma_b &= \beta_b + \frac{\tilde{K}_{bb} - c\tilde{K}_{ab}}{1 - c^2}, \\ K_{ab} &= \frac{\tilde{K}_{ab} - c\tilde{K}_{bb}}{1 - c^2}, & K_{ba} &= \frac{\tilde{K}_{ba} - c\tilde{K}_{aa}}{1 - c^2}; \end{aligned} \quad (14)$$

e

$$N = \begin{pmatrix} k_{aa} & k_{ab} \\ k_{ba} & k_{bb} \end{pmatrix} \quad (15)$$

em que

$$\begin{aligned} k_{aa} &= \frac{\hat{K}_{aa} - c\hat{K}_{ab}}{1 - c^2}, & k_{bb} &= \frac{\hat{K}_{bb} - c\hat{K}_{ba}}{1 - c^2}, \\ k_{ab} &= \frac{\hat{K}_{ba} - c\hat{K}_{bb}}{1 - c^2}, & k_{ba} &= \frac{\hat{K}_{ab} - c\hat{K}_{aa}}{1 - c^2}. \end{aligned} \quad (16)$$

Implementação

Para modos de propagação Transversais Elétricos (TE), onde $\mathbf{E} = \hat{\mathbf{y}}E_y$ e $\mathbf{H} = \hat{\mathbf{x}}H_x + \hat{\mathbf{z}}H_z$, e para os dois guias a e b , é possível apontar algumas particularidades que possibilitam obter os coeficientes que compõem a Eq. (12). Para tal caso, já que $E_z = E_x = 0$, os coeficientes de acoplamento são dados por

$$\tilde{K}_{pq} = \frac{\omega}{4} \int \int \Delta\varepsilon^{(q)}(x, y) \left(E_y^{(p)} E_y^{(q)} \right) dx dy, \quad (17)$$

$$\hat{K}_{pq} = \frac{\omega}{4} \varepsilon_0 \int \int f(x, y) \left(E_y^{(p)} E_y^{(q)} \right) dx dy. \quad (18)$$

A fim de encontrar o coeficiente de sobreposição, c , obtem-se a componente transversal do campo magnético a partir da lei de Faraday,

$$-i\omega\mu_0 \mathbf{H}_t = i\omega\mu_0 (\hat{\mathbf{x}} H_x) = \hat{\mathbf{x}} (\hat{\mathbf{x}} \cdot \nabla \times (\hat{\mathbf{y}} E_y)), \quad (19)$$

implicando

$$H_x = \frac{i}{\omega\mu_0} \left(-\frac{\partial}{\partial z} E_y \right) = -\frac{\beta}{\omega\mu_0} E_y. \quad (20)$$

Disto segue

$$c_{pq} = \frac{1}{2} \frac{\beta_q}{\omega\mu_0} \int \int E_y^{(p)} E_y^{(q)} dx dy, \quad (21)$$

logo o coeficiente de sobreposição no modo TE é

$$c = \frac{(\beta_a + \beta_b)}{4\omega\mu_0} \int \int E_y^{(a)} E_y^{(b)} dx dy. \quad (22)$$

Para determinar os coeficientes de forma analítica, considere um intervalo do eixo- x , $I = [u, v]$, contendo apenas um valor de índice de refração; isto é, seja $x_0 \in I$, então $\varepsilon(x) = \varepsilon(x_0) \forall x \in I$. Assim, no intervalo I , os campos elétricos transversais se dão como

$$E_y^{(a)}(x \in I) = A \exp(\xi(x - t_a)) + B \exp(-\xi(x - t_a)), \quad (23)$$

$$E_y^{(b)}(x \in I) = C \exp(\zeta(x - t_b)) + D \exp(-\zeta(x - t_b)), \quad (24)$$

onde, se $\forall x \in I$, $\varepsilon^{(a)}(x) = \varepsilon_0 n_a^2$ e $\varepsilon^{(b)}(x) = \varepsilon_0 n_b^2$,

$$\xi^2 = \beta_a^2 - k_0^2 n_a^2, \quad \zeta^2 = \beta_b^2 - k_0^2 n_b^2, \quad (25)$$

portanto sua solução analítica se dá como *

$$\begin{aligned} \int_u^v E_y^{(a)} E_y^{(b)} dx &= \int_u^v [(A \exp(\xi(x - t_a)) + B \exp(-\xi(x - t_a))) (C \exp(\zeta(x - t_b)) + D \exp(-\zeta(x - t_b)))] dx \\ &= \left[\frac{AC}{\xi + \zeta} \exp((\xi + \zeta)x - \xi t_a - \zeta t_b) + \frac{AD}{\xi - \zeta} \exp((\xi - \zeta)x - \xi t_a + \zeta t_b) \right. \\ &\quad \left. - \frac{BC}{\xi - \zeta} \exp(-(\xi - \zeta)x + \xi t_a - \zeta t_b) - \frac{BD}{\xi + \zeta} \exp(-(\xi + \zeta)x + \xi t_a + \zeta t_b) \right] \Bigg|_{x=u}^v. \end{aligned} \quad (26)$$

*Note que a Eq. 26 vale apenas quando $(\xi + \zeta) \neq 0$ e $(\xi - \zeta) \neq 0$. Entretanto, uma expressão para esta integral quando uma destas condições é quebrada não apresenta grandes problemas de implementação, pois, simplesmente, se trata da integração de uma constante em x .

Neste sentido, particiona-se o eixo- x em intervalos correspondentes a cada índice de refração, isto é

$$(-\infty, \infty) = \bigcup_{j=1}^5 I_j = (-\infty, 0] \cup [0, d_2] \cup [d_2, d_2 + 2s] \cup [d_2 + 2s, d_2 + 2s + d_4] \cup [d_2 + 2s + d_4, \infty), \quad (27)$$

portanto

$$\int_{-\infty}^{\infty} E_y^{(a)} E_y^{(b)} dx = \sum_{j=1}^5 \int_{I_j} E_y^{(a)} E_y^{(b)} dx = \sum_{j=1}^5 \int_{u_j}^{v_j} E_y^{(a)} E_y^{(b)} dx, \quad (28)$$

o que permite encontrar os coeficientes a partir da Eq. (26) propriamente de forma analítica.

As constantes de propagação, β_a e β_b – assim como cada constante de campo (A , B , C e D) com a devida normalização – são encontradas utilizando-se da Técnica da Matriz de Transferência (TMT), discutida em maior detalhe em trabalhos anteriores da disciplina. No diretório deste projeto **MATLAB**, as funções `tmt_betas`, `tmt_coeffs`, `tmt_matrix` concernem a esta parcela.

O arquivo `griff_test` diz respeito à implementação literal, propriamente dita, da Eq. (12) e faz uso de dependências como `integrate_product`, implementação da Eq. (26) para uma sequência de intervalos de índices constantes. Note que ela, sem o devido tratamento, se apresenta como uma equação diferencial rígida por natureza. Algumas alternativas são possíveis para eliminar a rapidez de variação de sua solução como o uso de envoltórias de variação lenta, por exemplo.

Resultados

Para o casamento de fase entre os modos dos guias isolados, os valores de período da rede de difração, localizada na interface entre o meio de índice n_2 e o de n_3 da Fig. 1, são escolhidos tais que

$$\frac{2\pi}{\Lambda} = \gamma_a - \gamma_b \quad \Rightarrow \quad \Lambda = \frac{2\pi}{\gamma_a - \gamma_b}. \quad (29)$$

A fim de estudar o comportamento do sistema, será controlada a distância entre os guias acoplados e também as condições iniciais de excitação dos guias. Os valores testados de separação entre os guias são

$$2s = 1,2 \text{ } \mu\text{m}; 1,4 \text{ } \mu\text{m}; 1,6 \text{ } \mu\text{m}; 1,8 \text{ } \mu\text{m}.$$

As condições iniciais $\mathbf{u}(z = 0)$ são tais que

$$\mathbf{u}(0) = \begin{pmatrix} a_0 \\ \sqrt{1 - a_0^2} \end{pmatrix}, \quad (30)$$

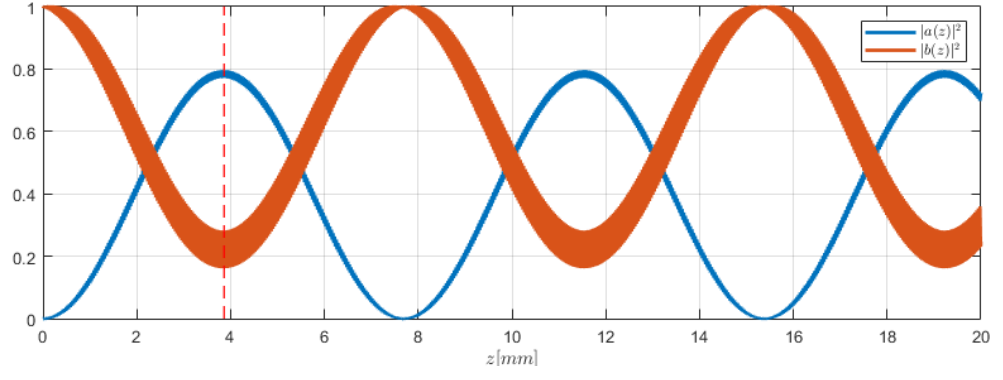
onde

$$a_0^2 = 0, \frac{1}{4}, \frac{3}{4}, 1.$$

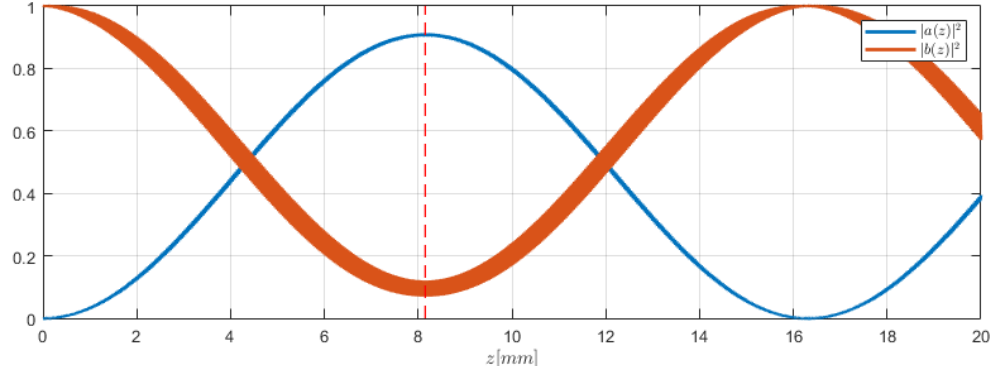
As amplitudes locais obtidas são ilustradas nas Figs. 2, 3, 4 e 5. Note que, devido à natureza rígida da equação diferencial, as soluções apresentam rápida variação, mas é evidente o comportamento de mais baixa frequência. A partir das figuras, consegue-se perceber onde se dá a primeira “troca” total de energia, onde a amplitude local que possuía menor magnitude inicialmente toma seu valor máximo – posição marcada com a linha vertical em vermelho nas figuras. Este é o chamado comprimento de interação – ℓ . Percebe-se que, independente das condições iniciais, cada dupla de valores de $2s$ e Λ (já que Λ também tem seu valor mudado em função de $2s$) possui um comprimento específico. Os valores obtidos para tais comprimentos é dado na Tab. 1.

Tabela 1: Comprimentos de interação, ℓ , em função das distâncias entre guias

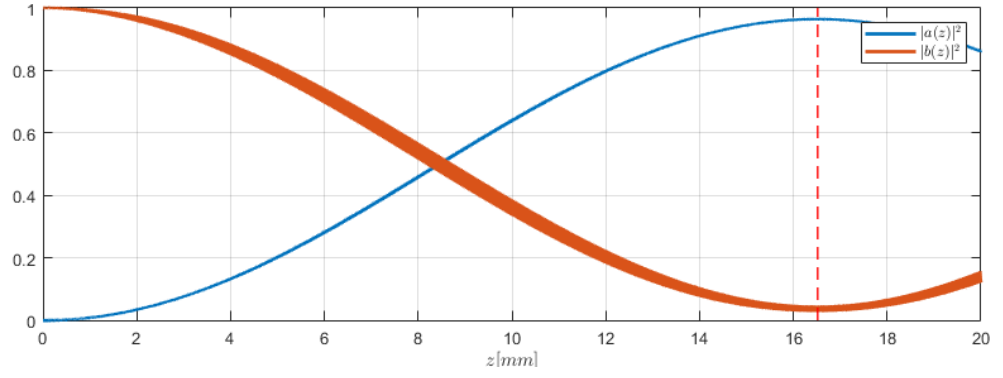
| $2s$ [μm] | ℓ [mm] |
|------------------------|-------------|
| 1, 2 | $\sim 3,9$ |
| 1, 4 | $\sim 8,2$ |
| 1, 6 | $\sim 16,5$ |
| 1, 8 | $\sim 32,7$ |



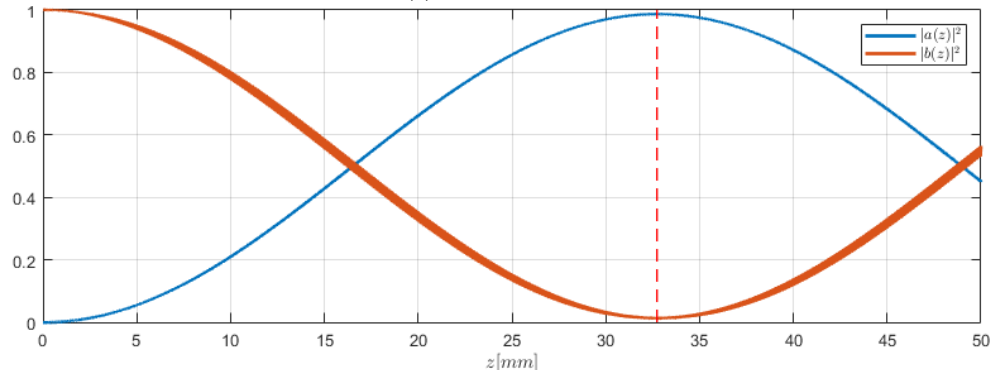
(a) $2s = 1, 2 \mu\text{m}$



(b) $2s = 1, 4 \mu\text{m}$

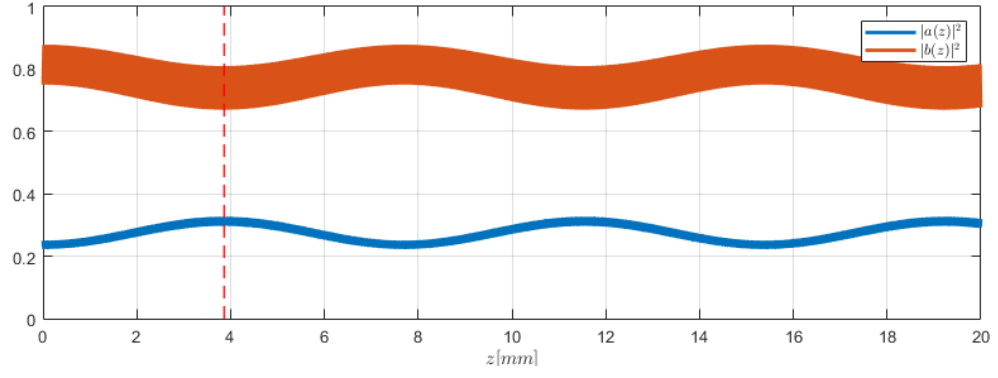


(c) $2s = 1, 6 \mu\text{m}$

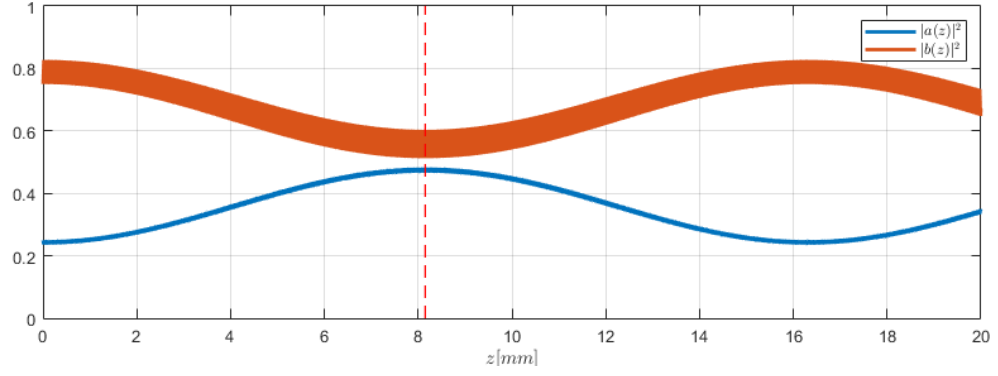


(d) $2s = 1, 8 \mu\text{m}$

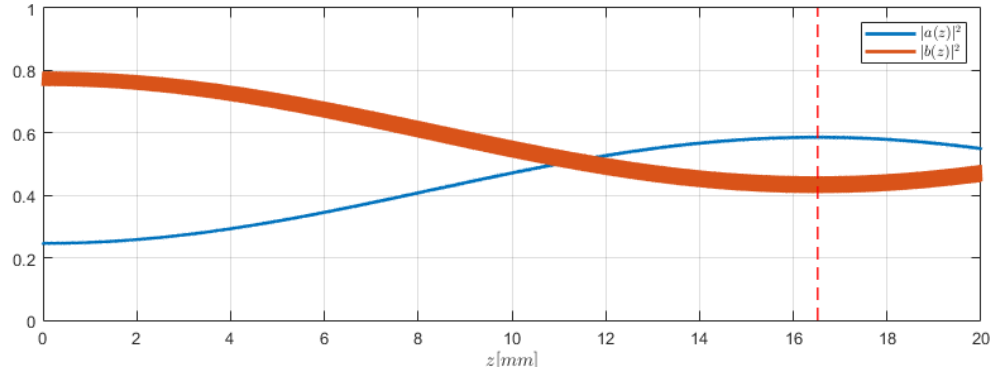
Figura 2: Amplitudes locais de cada guia quando $a_0^2 = 0$.



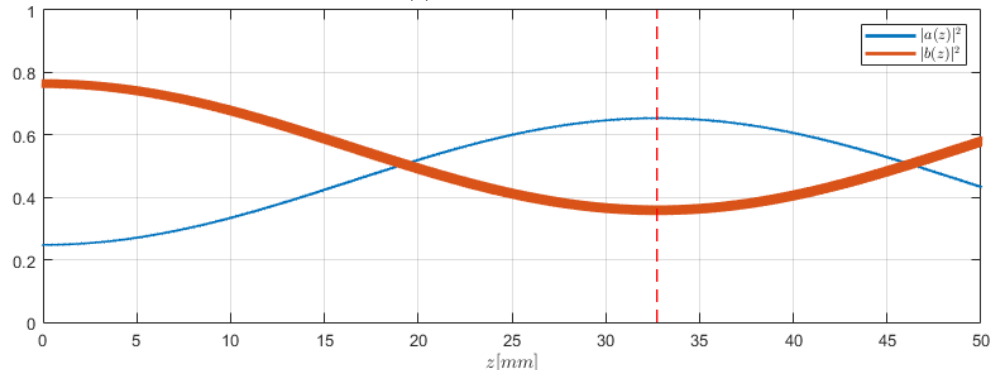
(a) $2s = 1, 2 \mu\text{m}$



(b) $2s = 1, 4 \mu\text{m}$

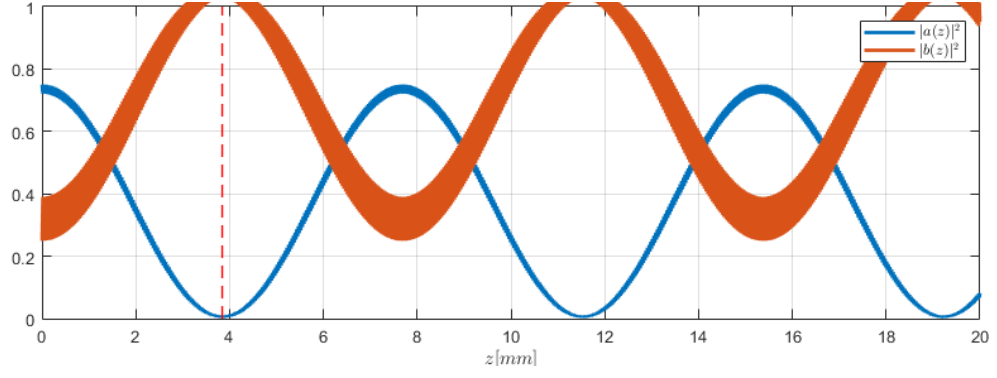


(c) $2s = 1, 6 \mu\text{m}$

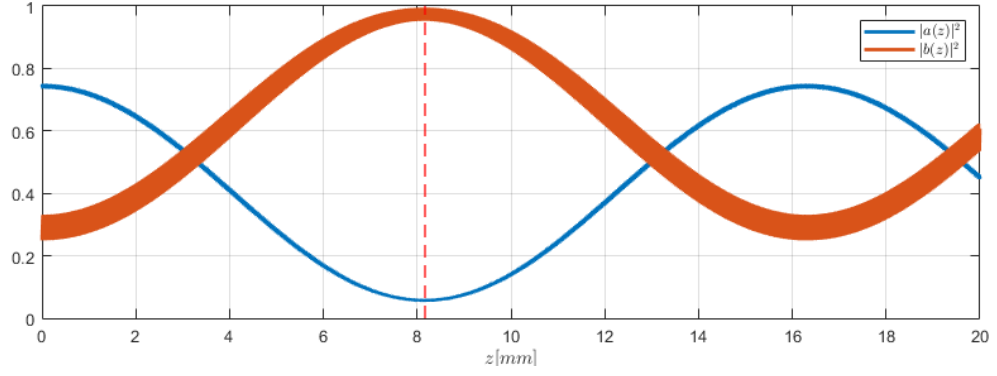


(d) $2s = 1, 8 \mu\text{m}$

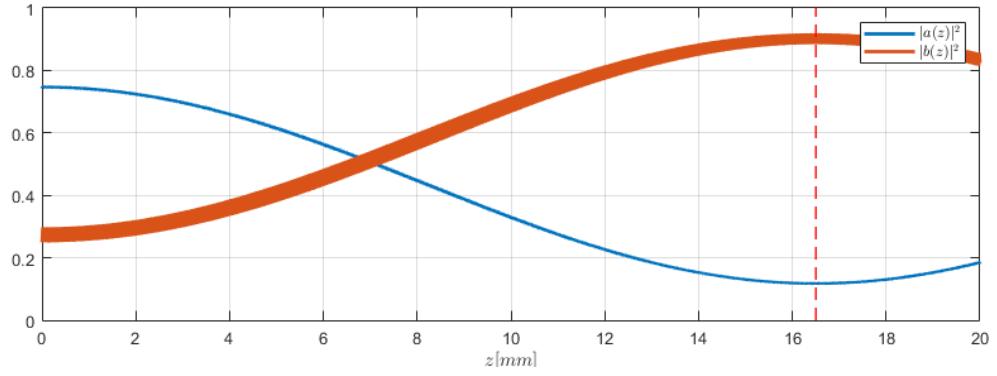
Figura 3: Amplitudes locais de cada guia quando $a_0^2 = 1/4$.



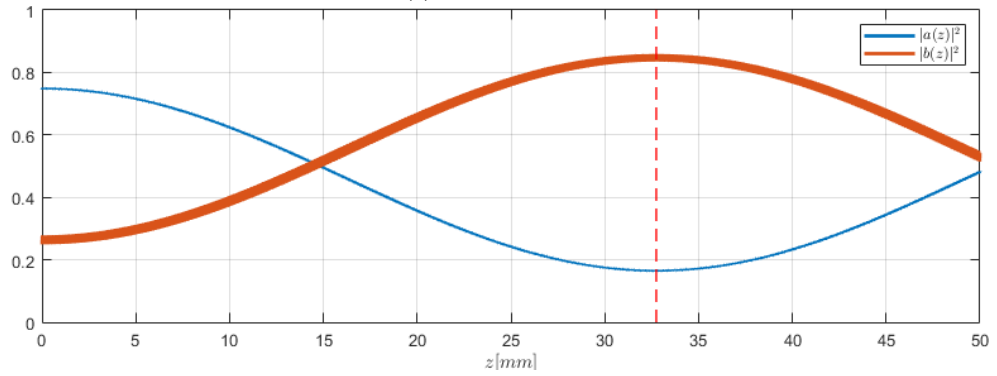
(a) $2s = 1, 2 \mu\text{m}$



(b) $2s = 1, 4 \mu\text{m}$

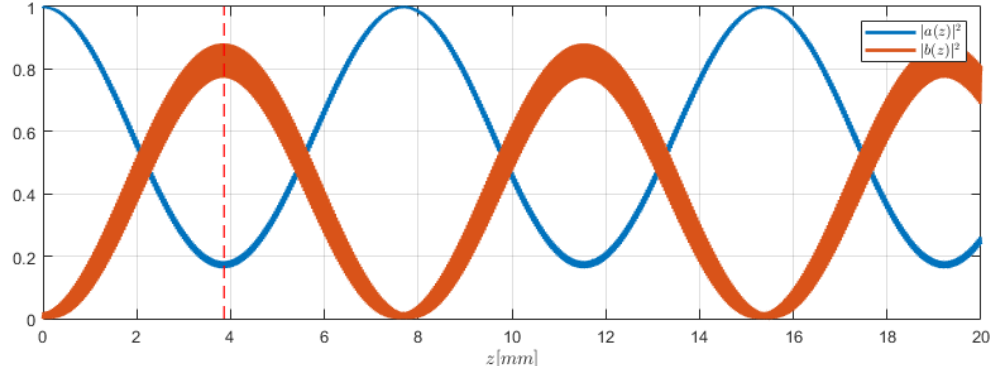


(c) $2s = 1, 6 \mu\text{m}$

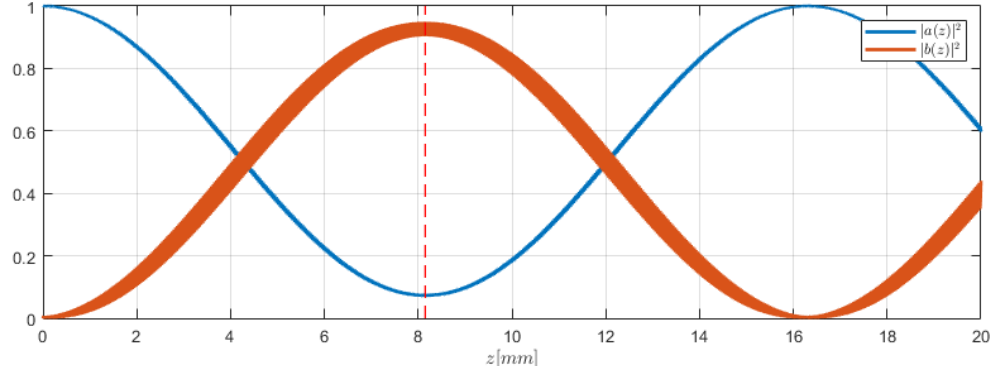


(d) $2s = 1, 8 \mu\text{m}$

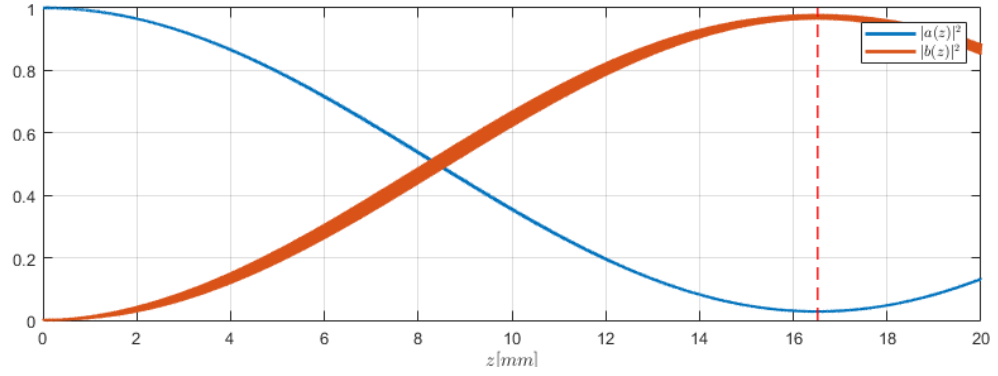
Figura 4: Amplitudes locais de cada guia quando $a_0^2 = 3/4$.



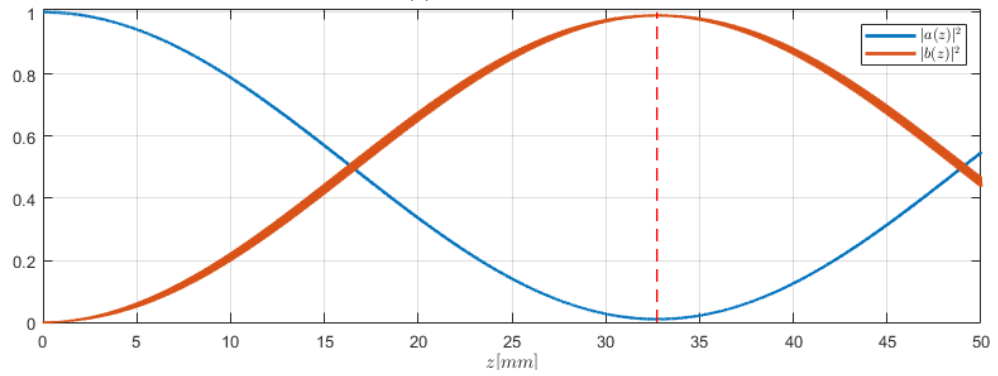
(a) $2s = 1, 2 \mu\text{m}$



(b) $2s = 1, 4 \mu\text{m}$



(c) $2s = 1, 6 \mu\text{m}$



(d) $2s = 1, 8 \mu\text{m}$

Figura 5: Amplitudes locais de cada guia quando $a_0^2 = 1$.

Conclusão

Vemos aqui que é possível implementar a equação de modos acoplados – Eq. (12) – de forma coerente mesmo de forma rígida. Entretanto, vale salientar que a natureza de alta frequência, traz problemas para obtenção da solução devida; tanto do ponto de vista da rigidez da equação diferencial quanto da exigência de métodos com tolerâncias muito restritivas (aqui, foi usada uma tolerância absoluta de 10^{-11} e relativa de 10^{-9}) para a performance do algoritmo. Assim, parece preferível resolver as equações como mostra a Ref. [1] na eliminação da rápida variação.

Uma possibilidade para administrar a rigidez da equação seria o uso de envoltória de variação lenta, a qual consiste em resolver uma nova equação para

$$\mathbf{U} = \mathbf{U}(z) = \begin{pmatrix} A(z) \\ B(z) \end{pmatrix}, \quad (31)$$

onde

$$A(z) = a(z) \exp(i\gamma_a z), \quad B(z) = b(z) \exp(i\gamma_b z). \quad (32)$$

Seja

$$\Delta = \frac{\gamma_a - \gamma_b}{2}, \quad 2\delta = 2\Delta - \frac{2\pi}{\Lambda}, \quad (33)$$

d tal que

$$\Delta n^2(z) = 2d \cos\left(\frac{2\pi}{\Lambda} z\right), \quad (34)$$

e negligenciando termos assíncronos, uma nova forma para as equações de modos acoplados se torna [1]

$$\frac{d}{dz} A(z) = i(K_{ab} e^{-i2\Delta z} + dk_{ab} e^{i2\delta z}) B(z) \quad (35)$$

$$\frac{d}{dz} B(z) = i(K_{ba} e^{i2\Delta z} + dk_{ba} e^{i2\delta z}) A(z). \quad (36)$$

Assim, as equações de modos acoplados se tornam mais eficientes de se resolver.

Referências

- 1 Griffel, G.; Itzkovich, M.; Hardy, A. A. Coupled mode formulation for directional couplers with longitudinal perturbation. **IEEE Journal of Quantum Electronics**, v. 27, n. 4, p. 985–994, 1991.
- 2 Marcuse, D. Directional couplers made of nonidentical asymmetric slabs. part i: Synchronous couplers. **Journal of Lightwave Technology**, v. 5, n. 1, p. 113–118, 1987.
- 3 _____. Directional couplers made of nonidentical asymmetric slabs. part ii: Grating-assisted couplers. **Journal of Lightwave Technology**, v. 5, n. 2, p. 268–273, 1987.